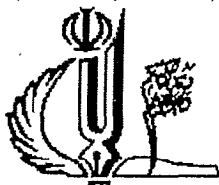




١١٣٧٥٠



دانشکده‌پژوهی
دانشکده-شیمی
گروه شیمی معدنی

پایان‌نامه جهت دریافت درجه کارشناسی ارشد در رشته شیمی معدنی

عنوان

ستز و مطالعه شیف بازها با دهنده‌های N_2O_3 و N_6O_5 بر پایه پیپرازین و متوكسی بنزن و کمپلکس‌های آنها با برخی از فلزات واسطه

استاد راهنما

دکتر علی‌اکبر خاندار

استاد مشاور

دکتر ابوالفضل حسینی یزدی

پژوهشگر

ابوالفضل پورعلی

مهرماه ۱۳۸۷

۱۳۸۸ / ۳ / ۳

اقتباس از اطلاعات مرکز مهندسی
تمیتیه مرکز

در مسیر زندگی کسانی هستند که تنها می آیند و میروند،
ولی افرادی نیز وجود دارند که مسیر تاریکت را با نور
خودشان روشنی میبخشند و اینان همیشگی اند.

رسم شکرگزاری پس از سجده بر آستان دوست که هر چه دارم از اوست ،
این پایاننامه را به
روح بلند پژوهشگرانم که شکست تا نشکنم ،
به ماهیشکارانم که ایستاد تا نیفتم ،
و به تحقیقگذارانم که گذشت تا بگذرم.

با سپاس از استاد راهنمای فرهیخته و عزیز
جناب آقای دکتر علی اکبر شاندیار
که شاگردی در محضر ایشان یکی از بزرگترین افتخاراتم به شمار
خواهد آمد.

با قدردانی و تشکر از:

- ✓ استاد محترم دکتر سید ابوالفضل حسینی یزدی که امر مشاوره این پایاننامه بر عهده ایشان بوده و همواره از همفکریهای ایشان کمال استفاده را بردم.
- ✓ استاد عزیز و ارجمند جناب آقای دکتر بهروز شعبانی به جهت تقبل امر داوری این پایاننامه و همچنین الطاف برادرانه ایشان.
- ✓ ریاست محترم دانشکده آقای دکتر مجیدی ، معونت محترم آموزشی ، آقای دکتر خاندار و معاونت محترم پژوهشی ، آقای دکتر نیایی.
- ✓ اساتید و اعضاء محترم گروه شیمی معدنی.
- ✓ کارمندان محترم دانشکده در بخش های مختلف انبار، زیراکس، دبیرخانه، کتابخانه، شیشه گری، امور دانشجوئی و حسابداری.
- ✓ همکاران عزیزم در آزمایشگاه کوئردیناسیون آقایان عارف، سعادت و افخمی و خانمها نیک سیرت و سمعی و به ویژه از دکتر زارعی ، دکتر بختیاری و دکتر عابدی که در طول انجام پژوهش از دانسته های خود دریغ نکرده و محیطی آرام و دوستانه ای را ایجاد کردند.
- ✓ خانم کبیری جهت ثبت طیف های $^1\text{H-NMR}$ و خانم سیستانی جهت ثبت طیف های FT-IR و CHN

نام خانوادگی دانشجو: پورعلی	نام: ابوالفضل
عنوان پایان نامه: ستز و مطالعه شیف بازها با دهنده های N_2O_5 و N_6O_3 بر پایه پیپرازین و متوكسی بنزن و کمپلکس های آنها با برخی از فلزات واسطه	
استاد راهنمای: دکتر علی اکبر خاندار	
استاد مشاور: دکتر سید ابوالفضل حسینی یزدی	
مقطع تحصیلی: کارشناسی ارشد دانشگاه: تبریز	رشته: شیمی گرایش: معدنی
دانشکده: شیمی تعداد صفحه: ۱۰۵	تاریخ فارغ التحصیلی: ۸۷/۷/۱۷
کلید واژه ها: شیف باز، پیپرازین، متوكسی بنزن، کمپلکس های نقره، کادمیم، روی و کبالت	
چکیده:	
<p>در این کار پژوهشی لیگاند های شیف بناز ۱ و ۳- بیس (۲- (پیپرازین- ۱- ایل) اتیل ایمینو) متیل فنوکسی) پروپان- ۲- اول (L^1) و ۱ و ۳- بیس (۲- (۴- متوكسی بنزیل ایمینو) متیل) فنوکسی) پروپان- ۲- اول (L^2) از تراکم دی آلدئید ۲- [۳- (۲- فرمیل فنوکسی)- ۲- هیدروکسی پروپوکسی)] بنزآلدهید با آمین- های ۲- (پیپرازین- ۱- ایل) اتیل آمین و ۴- (متوكسی فنیل) متان آمین و لیگند ماکروسیکل L^3 به صورت کمپلکس فلزی از تراکم دی آلدئید ۲- [۳- (۲- فرمیل فنوکسی)- ۲- هیدروکسی پروپوکسی)] بنزآلدهید با آمین- α- متا زایلن دی آمین و نمک فلزات مختلف تهیه شدند.</p> <p>واکنش نمک های کلرید کبالت و روی و همچنین نیترات کبالت، کادمیم، روی، نیکل و نقره با این لیگاند ها بررسی شد که در مورد نقره و کبالت منجر به تشکیل کمپلکس های سه هسته ای و در سایر موارد بصورت تک هسته ای و یا دو هسته ای گردید. لیگاند های ستز شده و کمپلکس های آنها توسط تکنیک- های UV-Vis، ^{13}C-NMR، H-NMR، FT-IR، آنالیز عنصری، هدایت سنجی و ولتا متری چرخه ای مورد بررسی و شناسایی قرار گرفتند. هدایت سنجی تمام کمپلکس ها در محلول DMSO بررسی گردید.</p>	

طیف‌های الکترونی کمپلکس‌ها در حلول DMSO ثبت گردیدند که علاوه بر جابجایی نوارها نسبت به طیف UV/Vis لیگاند‌ها، جذب‌هایی را نیز در نواحی nm ۲۰۰-۴۰۰ نشان می‌دهد که به انتقالات $\pi \rightarrow \pi^*$ حلقه‌های بنزنی مربوط است. مطالعات الکتروشیمیایی کمپلکس‌ها در حلول DMSO نشان داد که لیگاند‌ها از لحاظ الکتروشیمیایی فعال می‌باشند و از بین کمپلکس‌های آنها تنها کمپلکس $L^3Cd(NO_3)_2$ رفتاری برگشت‌پذیر دارد.

فهرست مطالب

صفحه	عنوان
------	-------

فصل اول: بررسی منابع

۱	۱-۱- مقدمه
۱	۱-۲- شیف بازها و کمپلکس های آنها
۳	۱-۳- شیف بازهای زنجیری باز
۴	۱-۴- ماکروسیکل های شیف باز
۵	۱-۵- روشهای سنتز کمپلکس های شیف باز
۵	۱-۵-۱- روش تمپلت
۶	۱-۵-۲- نمونه هایی از سنتز شیف بازها به روش تمپلت
۷	۱-۵-۳- روش مستقیم
۸	۱-۵-۴- نمونه هایی از سنتز به روش مستقیم
۱۰	۱-۶- اهمیت و کاربرد شیف بازها و کمپلکس های آنها
۱۰	۱-۶-۱- خاصیت کاتالیزوری
۱۴	۱-۶-۲- خاصیت آنتی بیوتیکی (داروئی یا بیولوژیکی)
۲۰	۱-۶-۳- خاصیت ضد خورنده
۲۲	۱-۶-۴- سایر خواص
۲۳	۱-۷- هدف پژوهش

فصل دوم: مواد و روش‌ها

۲۶	۲-۱- مواد شیمیائی به کار رفته
۲۷	۲-۲- دستگاهها و تجهیزات به کار رفته

صفحه	عنوان
۲۸.....	۳-۲- ستز مواد
۲۸.....	۱-۳-۲- ستز [۳-۲- فرمیل فنوكسی)-۲- هیدروکسی پروپوکسی] بنزالدئید
۲۸.....	۲-۳-۲- ستز لیگند
۲۹.....	۱-۲-۳-۲- ستز لیگاند او ۳- بیس (۲- (بیرازین-۱- ایل) اتیل ایمینو) متیل) فنوكسی) پروپان-۲- اول (L^1)
۳۰.....	۲-۲-۳-۲- ستز لیگاند او ۳- بیس (۲- (Z)- ۴- متوكسی بنزیل ایمینو) متیل) فنوكسی) پروپان-۲- اول (L^2)
۳۱.....	۳-۲-۳-۲- ستز لیگند L^3
۳۱.....	۴-۲-۳-۲- ستز لیگند L^4
۳۱.....	۳-۳-۲- ستز کمپلکس ها
۳۲.....	۱-۳-۳-۲- ستز کمپلکس $L^1Cd(NO_3)_2$
۳۲.....	۲-۳-۳-۲- ستز کمپلکس $L^1Ag_3(NO)_3$
۳۲.....	۳-۳-۳-۲- ستز کمپلکس $L^1Co_3Cl_6$
۳۲.....	۴-۳-۳-۲- ستز کمپلکس $L^3Co(NO_3)_2$
۳۳.....	۵-۳-۳-۲- ستز کمپلکس $L^3Cd(NO_3)_2$
۳۳.....	۶-۳-۳-۲- ستز کمپلکس L^3ZnCl_2
۳۳.....	۷-۳-۳-۲- ستز کمپلکس $L^3Zn(NO_3)_2$
۳۴.....	۸-۳-۳-۲- ستز کمپلکس $L^3Ni(NO_3)_2$
۳۴.....	۹-۳-۳-۲- ستز کمپلکس $L^3Ag_3(NO)_3$
۳۴.....	۱۰-۳-۳-۲- ستز کمپلکس $L^3Co_3Cl_6$
۳۴.....	۱۱-۳-۳-۲- ستز سایر کمپلکس ها

صفحه

عنوان

فصل سوم: نتایج و بحث

۱-۱-۳	= شناسایی پیش لیگاند، لیگاندها و کمپلکسها
۳۷	
۱-۱-۳	- ترکیب ۲-(۳)-۲-فرمیل فنوكسی)-۲-هیدروکسی پروپوکسی) بنزآلدئید (A)
۳۷	
۱-۱-۳	- لیگاند ۱ و ۳-بیس (۲-(پیپرازین-۱-ایل) اتیل ایمینو) متیل) فنوكسی) پروپان-
۳۹	۲- اول (L^1)
۱-۱-۳	- لیگاند ۱ و ۳-بیس (۲-(Z)-متوكسی بنزیل ایمینو) متیل) فنوكسی) پروپان - ۲
۴۷	اول (L^2)
۱-۱-۳	۵۶..... $L^1Cd_2(NO_3)_4$ و $L^1Ag_3(NO)_3$, $L^1Co_3Cl_6$
۱-۱-۳	۵۷..... L^4 -لیگندماکروسیکل
۱-۱-۳	۷۶..... L^3 -ZnX ₂ (X=Cl, NO ₃)
۱-۱-۳	۷۱..... $L^3Co(NO_3)_2$ و $L^3Cd(NO_3)_2$ - کمپلکس های ۲
۱-۱-۳	۷۶..... $L^4Co_3Cl_6$ و $L^4Ag_3(NO)_3$ - کمپلکس های ۳
۱-۱-۳	۸۱.....۱۰- سایر کمپلکسها
۱-۱-۳	۸۱.....۱۱- بررسی طیف های الکترونی لیگاند ها و کمپلکس ها
۱-۱-۳	۸۸.....۱۲- مطالعات ولتا متري چرخه ای
۱-۱-۳	۸۹.....۱۳- مطالعات ولتا متري چرخه ای لیگاند L^1
۱-۱-۳	۹۰.....۱۴- مطالعات ولتا متري چرخه ای کمپلکس ها
۱-۱-۳	۹۰.....۱۵- مطالعات ولتا متري چرخه ای کمپلکس های لیگند L^1
۱-۱-۳	۹۲.....۱۶- مطالعات ولتا متري چرخه ای کمپلکس های لیگند L^3

عنوان	صفحه
نتیجه گیری	۹۵
پیشنهادات	۹۵
منابع مورد استفاده	۹۷

فهرست جد اول

عنوان	
صفحہ	
جدول ۱-۲ - مواد بے کار رفتہ.....	۲۶
جدول (۱-۳) اعداد موجی (cm^{-1}) برخی شیوه‌های ارتعاشی ترکیب (A).....	۳۹
جدول (۲-۳) اعداد موجی (cm^{-1}) برخی شیوه‌های ارتعاشی لیگنڈ L.....	۴۱
جدول (۳-۳) نتایج آنالیز عنصری لیگنڈ L^1	۴۱
جدول (۴-۳) اعداد موجی (cm^{-1}) برخی شیوه‌های ارتعاشی لیگنڈ L^2	۴۹
جدول (۵-۳) نتایج آنالیز عنصری لیگنڈ L^2 :.....	۴۹
جدول (۶-۳) برخی مشخصات فیزیکی کمپلکس‌های کادمیم (II)، نقرہ (I) و کیالت (II).....	۵۸
جدول (۷-۳) اعداد موجی (cm^{-1}) برخی شیوه‌های ارتعاشی کمپلکس $L^1\text{Cd}(\text{NO}_3)_2$	۶۰
جدول (۸-۳) نتایج آنالیز عنصری کمپلکس $L^1\text{Cd}_2(\text{NO}_3)_4$	۶۰
جدول (۹-۳) برخی شیوه‌های ارتعاشی کمپلکس $L^1\text{Co}_3\text{Cl}_6$	۶۲
جدول (۱۰-۳) نتایج آنالیز عنصری کمپلکس $L^1\text{Co}_3\text{Cl}_6$	۶۲
جدول (۱۱-۳) برخی شیوه‌های ارتعاشی کمپلکس $L^1\text{Ag}_3(\text{NO})_3$	۶۴
جدول (۱۲-۳) نتایج آنالیز عنصری کمپلکس $L^1\text{Ag}_3(\text{NO})_3$	۶۵
جدول (۱۳-۳) نتایج هدایت سنجی مولی کمپلکس‌های $L^1\text{Co}_3\text{Cl}_6$, $L^1\text{Cd}(\text{NO}_3)_2$ و $L^1\text{Ag}_3(\text{NO})_3$ در حلal در دمای 25°C	۶۶
جدول (۱۴-۳) برخی مشخصات فیزیکی کمپلکس‌های $L^3\text{ZnCl}_2$, $L^3\text{Zn}(\text{NO}_3)_2$	۶۶
جدول (۱۵-۳) برخی شیوه‌های ارتعاشی کمپلکس‌های $L^3\text{ZnCl}_2$, $L^3\text{Zn}(\text{NO}_3)_2$ و اعداد موجی (cm^{-1}).....	۶۹
جدول (۱۶-۳) نتایج آنالیز عنصری (٪) کمپلکس‌های $L^3\text{ZnCl}_2$ و $L^3\text{Zn}(\text{NO}_3)_2$	۷۰
جدول (۱۷-۳) برخی مشخصه‌های فیزیکی کمپلکس‌های $L^3\text{Co}(\text{NO}_3)_2$ و $L^3\text{Cd}_2(\text{NO}_3)_4$	۷۱
جدول (۱۸-۳) اعداد موجی (cm^{-1}) برخی شیوه‌های ارتعاشی کمپلکس $L^3\text{Co}(\text{NO}_3)_2$, $L^3\text{Cd}(\text{NO}_3)_2$ و $L^3\text{Cd}_2(\text{NO}_3)_4$	۷۵
جدول (۱۹-۳) نتایج آنالیز عنصری (٪) کمپلکس‌های $L^3\text{Co}(\text{NO}_3)_2$ و $L^3\text{Cd}(\text{NO}_3)_2$	۷۵

صفحه	عنوان
جدول (۲۰-۳) نتایج هدایت سنجی مولی کمپلکس‌های $L^3\text{Co}(\text{NO}_3)_2$ و $L^3\text{Cd}(\text{NO}_3)_2$ در حلال DMSO در دمای 25°C	۷۶.....
جدول (۲۱-۳) برخی مشخصه‌های فیزیکی کمپلکس‌های $L^3\text{Co}_3\text{Cl}_6$ و $L^3\text{Ag}_3(\text{NO})_3$	۷۷.....
جدول (۲۲-۳) اعداد موجی (cm^{-1}) برخی شیوه‌های ارتعاشی کمپلکس‌های نقره (I) و کبالت (II)	۷۹.....
جدول (۲۳-۳) نتایج آنالیز عنصری (%) کمپلکس‌های $L^3\text{Co}_3\text{Cl}_6$ و $L^3\text{Ag}_3(\text{NO})_3$	۸۰.....
جدول (۲۴-۳) نتایج طیف‌های الکترونی و مشخصات فیزیکی لیگندها	۸۲.....
جدول (۲۵-۳) نتایج طیف‌های الکترونی کمپلکس‌های $L^1\text{Co}_3\text{Cl}_6$ و $L^1\text{Ag}_3(\text{NO})_3$ ، $L^1\text{Cd}(\text{NO}_3)_2$	۸۴.....
جدول (۲۶-۳) نتایج طیف‌های الکترونی کمپلکس‌های ماکروسیکل $L^3\text{ZnCl}_2$ ، $L^3\text{Cd}(\text{NO}_3)_2$ ، $L^4\text{Ag}_3(\text{NO})_3$ و $L^3\text{Co}(\text{NO}_3)_2$	۸۵.....

فهرست شماها

عنوان	
صفحه	
شمای (۱-۱) سترز ماکروسیکل (۱۸) به روش تمپلت از دی آلدئید (۱۶) و دی آمین (۱۷) در حضور فلز Cd(II) ۶	
شمای (۲-۱) کمپلکس‌های $Mn^{(II)}$ سترز شده به روش تمپلت با پلی آمینهای مختلف ۷	
شمای (۳-۱) سترز مستقیم کمپلکس‌های مس (۲۴) و (۲۵) با شرایط آزمایش متفاوت ۸	
شمای (۴-۱) لیگند (۲۶) با دو نوع گروه متصل متفاوت ۹	
شمای (۵-۱) سترز کمپلکس‌های پروانه‌ای مس (II) از لیگند (۲۶) ۹	
شمای (۶-۱) سترز مستقیم لیگند (۲۹) ۱۰	
شمای (۷-۱) کاتالیز اکسیداسیون اولفینها با کمپلکس شیف باز کیالت (II) ۱۱	
شمای (۸-۱) نمونه‌ای از واکنشهای کاتالیز شده با کمپلکس Mn^{2+} ۱۲	
شمای (۹-۱) لیگند (۳۶) و نمای سترز کمپلکس (۳۷) با گروههای جانبی متفاوت ۱۳	
شمای (۱۰-۱) لیگند متقارن تیولی با خاصیت آنتی تومور ۱۷	
شمای (۱۱-۱) سترز کمپلکس‌های ضد ایدز از فلزات پلاتین و پالادیم با نسبتهای مختلف ۱۹	
شمای (۱۲-۱) کمپلکس سه هسته‌ای مس با ساختار کریستالی آن ۲۳	
شمای (۱-۳) روش سترز ترکیب (A) ۳۷	
شمای (۲-۳) نمای سترز لیگند L^1 ۳۹	
شمای (۳-۳) نمای سترز لیگاند L^2 ۴۷	
شمای (۴-۳) نمای سترز لیگاند L^3 ۵۶	
شمای (۵-۳) نمای سترز لیگاند L^4 ۵۷	

فهرست اشکال

صفحه

عنوان

۲.....	شکل (۱-۱) ساختار برخی از شیف بازها.
۴-۳.....	شکل (۲-۱) تعدادی از شیف بازهای زنجیر باز.
۵-۴.....	شکل (۳-۱) نمونه هایی از ماکروسیکل های شیف باز.
۱۱.....	شکل (۴-۱) شیف بازهای با خاصیت کاتالیزوری در حضور مس (II).
۱۲.....	شکل (۴-۲) کمپلکس های منگنز و آنادیوم با فعالیت های کاتالیتیکی.
۱۴.....	شکل (۴-۳) کمپلکس های شیف بازدر سیستم HGNM.
۱۴.....	شکل (۷-۱) نمونه ای از ماکروسیکل ستر شده از Ru.
۱۵.....	شکل (۸-۱) کمپلکس چند هسته ای با رفتار بیولوژیکی.
۱۶.....	شکل (۹-۱) کمپلکس های (۴۳)، (۴۴) و (۴۶) از فلز مس با استفاده از لیگند های متفاوت.
۱۶.....	شکل (۱۰-۱) لیگند آنتی باکتریال.
۱۷.....	شکل (۱۱-۱) کمپلکس های ضد دیابتی ستر شده از لیگند (۴۹).
۱۸.....	شکل (۱۲-۱) لیگند شیف باز پنج دندانه با خاصیت آنتی باکتریائی.
۱۹.....	شکل (۱۳-۱) کمپلکس های شیف باز ضد سرطانی از فلز مس.
۲۰.....	شکل (۱۴-۱) سه نمونه از شیف بازها با فعالیت ضد خورنده.
۲۱.....	شکل (۱۵-۱) شیف باز هایی با فعالیت ضد خورنده استیل.
۲۲.....	شکل (۱۶-۱) برخی شیف بازهای ضد خورنده.
۲۲.....	شکل (۱۷-۱) کمپلکس های روی با خواص فتو لومینسانسی.
۲۴.....	شکل (۱۸-۱) ساختار لیگند های ستر شده در این کار پژوهشی.
۳۸.....	شکل (۱-۳) طیف FT-IR دی آلدید (A).
۴۰.....	شکل (۲-۳) طیف FT-IR لیگند ¹ L.
۴۲.....	شکل (۳-۳) طیف ¹ H-NMR لیگاند ¹ L.
۴۲.....	شکل (۴-۳) ساختار لیگند ¹ L.
۴۴.....	شکل (۵-۳) طیف ¹ H-NMR گسترده ناحیه ایمن و آروماتیکی لیگاند ¹ L.
۴۴.....	شکل (۶-۳) طیف ¹ H-NMR گسترده ناحیه آلیفاتیکی لیگاند ¹ L (ناحیه ۱-۴,۵ ppm).
۴۵.....	شکل (۷-۳) طیف ¹ H-NMR گسترده ناحیه آلیفاتیکی لیگاند ¹ L (ناحیه ۳,۲-۴,۶ ppm).
۴۵.....	شکل (۸-۳) طیف ¹ H-NMR گسترده ناحیه آلیفاتیکی لیگاند ¹ L (ناحیه ۱-۳ ppm).
۴۶.....	شکل (۹-۳) طیف ¹³ C-NMR لیگاند ¹ L.

عنوان	صفحه
شكل (۱۰-۳) ساختار پیشنهادی لیگنده ^۱ L ^۱	۴۷
شكل (۱۱-۳) طیف FT-IR لیگاند ^۲ L ^۲	۴۸
شكل (۱۲-۳) طیف ^۱ H-NMR لیگاند ^۲ L ^۲	۵۰
شكل (۱۳-۳) ساختار لیگنده ^۲ L ^۲	۵۰
شكل (۱۴-۳) طیف ^۱ H-NMR گسترده ناحیه آلیفاتیکی لیگاند ² L (ناحیه ۳-۴ ppm)	۵۲
شكل (۱۵-۳) طیف ^۱ H-NMR گسترده ناحیه آلیفاتیکی لیگاند ² L (ناحیه ۴-۵,۸ ppm)	۵۲
شكل (۱۶-۳) طیف ^۱ H-NMR گسترده ناحیه آروماتیکی لیگاند ² L (ناحیه ۶,۲-۷ ppm)	۵۳
شكل (۱۷-۳) طیف ^۱ H-NMR گسترده ناحیه آروماتیکی لیگاند ² L (ناحیه ۷-۷,۸ ppm)	۵۳
شكل (۱۸-۳) طیف ^۱ H-NMR گسترده ناحیه آروماتیکی لیگاند ² L (ناحیه ۶-۱۰ ppm)	۵۴
شكل (۱۹-۳) طیف ^{۱۳} C-NMR لیگاند ² L	۵۵
شكل (۲۰-۳) ساختار پیشنهادی لیگنده ^۲ L ^۲	۵۵
شكل (۲۱-۳) ساختار پیشنهادی لیگنده ^۳ L ^۳	۵۶
شكل (۲۲-۳) ساختار پیشنهادی ماکروسیکل L ⁴	۵۷
شكل (۲۳-۳) طیف FT-IR کمپلکس ^۱ L Cd(NO ₃) ₂	۵۹
شكل (۲۴-۳) طیف FT-IR کمپلکس ^۱ L Co ₃ Cl ₆	۶۱
شكل (۲۵-۳) ساختار پیشنهادی برای کمپلکس L ¹ Co ₃ Cl ₆	۶۳
شكل (۲۶-۳) طیف FT-IR کمپلکس ^۱ L Ag ₃ (NO) ₃	۶۴
شكل (۲۷-۳) ساختار مطرح شده برای کمپلکس ^۱ L Ag ₃ (NO) ₃	۶۵
شكل (۲۸-۳) طیف FT-IR کمپلکس ^۳ L Zn(NO ₃) ₂	۶۷
شكل (۲۹-۳) طیف FT-IR کمپلکس ^۳ L ZnCl ₂	۶۸
شكل (۳۰-۳) ساختار پیشنهادی کمپلکس های روی	۷۱

عنوان	
صفحه	
٧٢.....	شكل (٣١-٣) طيف FT-IR كمپلکس $L^3\text{Co}(\text{NO}_3)_2$
٧٣.....	شكل (٣٢-٣) طيف FT-IR ماکروسیکل $L^3\text{Cd}(\text{NO}_3)_2$
٧٤.....	شكل (٣٣-٣) ساختار مطرح شده برای کمپلکس های $L^3\text{Co}(\text{NO}_3)_2$ و $L^3\text{Cd}(\text{NO}_3)_2$
٧٧.....	شكل (٣٤-٣) طيف FT-IR ماکروسیکل $L^4\text{Ag}_3(\text{NO})_3$
٧٨.....	شكل (٣٥-٣) طيف FT-IR ماکروسیکل $L^4\text{Co}_3\text{Cl}_6$
٨٠.....	شكل (٣٦-٣) ساختار مطرح شده برای کمپلکس های $L^4\text{Co}_3\text{Cl}_6$ و $L^4\text{Ag}_3(\text{NO})_3$
٨١.....	شكل (٣٧-٣) طيف جذب الکتروني ليگاند L^1 در حلال DMSO در ناحيه UV و غلظت 10^{-5} مولار
٨٢.....	شكل (٣٨-٣) طيف جذب الکتروني ليگاند L^2 در حلال DMSO در ناحيه UV و غلظت 10^{-5} مولار
٨٣.....	شكل (٣٩-٣) طيف جذب الکتروني کمپلکس $L^1\text{Ag}_3(\text{NO})_3$ در حلال DMSO در ناحيه UV و غلظت 10^{-5} مولار
٨٣.....	شكل (٤٠-٣) طيف جذب الکتروني کمپلکس $L^1\text{Cd}(\text{NO})_3$ در حلال DMSO در ناحيه UV و غلظت 10^{-5} مولار
٨٤.....	شكل (٤١-٣) طيف جذب الکتروني کمپلکس $L^1\text{Co}_3\text{Cl}_6$ در حلال DMSO در ناحيه UV و غلظت 10^{-5} مولار
٨٦.....	شكل (٤٢-٣) طيف جذب الکتروني کمپلکس $L^4\text{Ag}_3(\text{NO})_3$ در حلال DMSO در ناحيه UV و غلظت 10^{-5} مولار
٨٦.....	شكل (٤٣-٣) طيف جذب الکتروني کمپلکس $L^3\text{Cd}(\text{NO}_3)_2$ در حلال DMSO در ناحيه UV و غلظت 10^{-5} مولار
٨٧.....	شكل (٤٤-٣) طيف جذب الکتروني کمپلکس $L^3\text{Co}(\text{NO}_3)_2$ در حلال DMSO در ناحيه UV و غلظت 10^{-5} مولار
٨٧.....	شكل (٤٥-٣) طيف جذب الکتروني کمپلکس $L^3\text{ZnCl}_2$ در حلال DMSO در ناحيه UV و غلظت 10^{-5} مولار

صفحه

عنوان

- ۸۸..... شکل(۴۶-۳) ولتاوگرام چرخهای محلول فروسن (M^{+3}) و سرعت رویش 10^{-3}Vs^{-1}
- ۸۹..... شکل(۴۷-۳) ولتاوگرام چرخهای محلول زمینه با سرعت رویش 100mV/s
- ۹۰..... شکل(۴۸-۳) ولتاوگرام چرخهای لیگاند L^1 (M^{+3}) در سرعت‌های رویش مختلف
- ۹۰..... شکل(۴۹-۳) ولتاوگرام چرخهای کمپلکس $L^1Ag_3(NO_3)_3$ (M^{+3}) و سرعت رویش 200mV/s
- ۹۱..... شکل(۵۰-۳) ولتاوگرام چرخهای کمپلکس $L^1Cd(NO_3)_2$ (M^{+3}) و سرعت رویش 200mV/s
- ۹۱..... شکل(۵۱-۳) ولتاوگرام چرخهای کمپلکس $L^1Co_3Cl_6$ (M^{+3}) و سرعت رویش 200mV/s
- ۹۲..... شکل(۵۲-۳) ولتاوگرام چرخهای کمپلکس $L^3Cd(NO_3)_2$ (M^{+3}) و سرعت رویش 200mV/s
- ۹۳..... شکل(۵۳-۳) ولتاوگرام چرخهای کمپلکس $L^3Cd(NO_3)_2$ (M^{+3}) و سرعت رویش 200mV/s در محدوده پتانسیل $+2$ تا 0 ولت
- ۹۳..... شکل(۵۴-۳) ولتاوگرام چرخهای کمپلکس $L^3Cd(NO_3)_2$ (M^{+3}) و سرعت رویش 200mV/s در محدوده پتانسیل -2 تا 0 ولت
- ۹۴..... شکل(۵۵-۳) ولتاوگرام چرخهای کمپلکس $L^3Co(NO_3)_2$ (M^{+3}) و سرعت رویش 200mV/s

فصل اول

بررسی منابع

۱-۱- مقدمه

شیف بازها در رده ترکیباتی هستند که با داشتن شیمی بسیار پیچیده و جالب ، نقش بسیار فوق العاده ای در توسعه شیمی کثوردیناسیون ایفا می کنند [۱]. این ترکیبات میتوانند حاوی مراکزدهنده بسیار قوی نظریراتم های اکسیژن، نیتروژن و گوگرد باشند که دارای تنوع ساختاری گسترده ، دانسیته های الکترونی متفاوت با سهولت ستز و کاربردهای مختلف و بسیار مفید هستند [۲و۳]. با توجه به توانایی قوی کثوردینه شدن فلزات واسطه با این لیگندها ، کمپلکسهاشیف بازبیماری را با کاربردهای متفاوت و حائز اهمیت ستز کرده اند که از جمله این کاربردهای مهم می توان به : استفاده در بسیاری واکنشها بعنوان کاتالیزور مناسب و بسیار مفید (مانند اکسید اسیون ترکیبات آلی [۴] ، کاهش الکتروشیمیائی ، واکنشهای اپوکسید اسیون [۵] ، دگراداسیون ترکیبات آلی [۸])، تهیه آتریم های داروئی [۶] ، اکسید اسیون DNA [۷] ، اصلاح سطوح الکترود ها [۹] ، فتوکرومیسم [۱۰] ، رادیو داروئی [۱۱] ، ساختن ترکیبات داروئی با خواص متفاوت و بسیار موثر (مانند ترکیبات ضد روماتیسم ، ضد تب ، ضد دیابت ، ضد قارچ ، آنتی باکتری ، ضد سرطان و ضد تومور [۱۲-۱۸]) ، عوامل بازدارنده خوردگی فلزات [۱۹-۲۰] و آنالیز شیمیایی [۲۱] اشاره کرد.

در این راستا وبا توجه به اهمیت موضوع ، در گروه شیمی معدنی ، شیف بازهای متنوع چهار دندانه ، پنج دندانه و شش دندانه (N_2O_2 ، N_3O_2 ، N_4O_2 و N_4S_2) و برخی کمپلکسهاشیف آنها با برخی از فلزات واسطه ستز شده و خواص الکتروشیمیایی ، اسپکتروسکوپی ، خاصیت NLO و خواص کریستال مایع آنها بررسی شده اند [۲۲].

۱-۲- شیف بازها و کمپلکس های آنها

شیف بازها (آزمتین ها یا ایمین ها) گروه وسیعی از حدواتسط های آلی را شامل می شوند که برای تهیه فرآورده های ویژه شیمیایی بکار می روند : شیف بازها دارای پیوند دوگانه $C=N$ در ساختار خود هستند که اغلب از واکنش تراکمی بین یک آمین نوع اول و ترکیبات کربونیل دار مانند آلدئیدها